

بررسی پارامترهای سنگزنانی ریشه پره متحرک توربین گازی در فرآیند سنگزنانی خزشی و تاثیر آنها بر میزان انحراف ایرفویل پره به کمک روش طراحی آزمایشات

احمدرضا فاضلی^۱

تاریخ دریافت: ۱۳۸۹/۷/۱۲

تاریخ پذیرش: ۱۳۹۰/۲/۸

چکیده

فرآیند سنگزنانی خزشی بطور گستردگی در ساخت مواد سوپرآلیاژ مورد استفاده قرار می‌گیرد. این مواد بطور معمول در توربین‌های گازی، تجهیزات هوایپما و قطعات با کارکرد در دماهای بالا، مورد استفاده قرار می‌گیرد. در این مقاله اثر پارامترهای ورودی فرآیند سنگزنانی خزشی شامل سرعت چرخشی سنگ، سرعت پیشروی سنگ و عمق براده برداری و سرعت پیشروی درسر دستگاه و بررسی اثر تعاملات آنها بر روی میزان خمیدگی ایرفویل پره متحرک توربین گازی رستون با استفاده از روش طراحی آزمایشات، پرداخته شده است. پس از انجام آزمایشات با استفاده از نتایج بدست آمده و بکمک تحلیل واریانس، مدل ریاضی پیش‌بینی کننده میزان خمیدگی ارائه گردیده و به کمک آن و با در نظرداشتن میزان خمیدگی مطلوب، پارامترهای ورودی جهت تولید بهینه بدست آمده‌اند. همچنین نتایج آزمایشات نشان می‌دهد که با کاهش سرعت پیشروی درسر، میزان عمق پیشروی، سرعت دورانی سنگ و افزایش سرعت پیشروی سنگ، میزان پارامتر خمیدگی مقدار کمتری را به خود اختصاص می‌دهد و در نتیجه اندازه مطلوبی در حد ترانس حاصل می‌گردد.

کلمات کلیدی: سنگزنانی خزشی، خمیدگی، روش طراحی آزمایشات، تحلیل واریانس

۱- مقدمه

ماشین‌کاری آن استفاده می‌شود. به طور کلی ساخت پره‌های متحرک موتورهای توربین گازی با توجه به شکل پیچیده و شرایط کاری حاد از تکنولوژی بالایی برخوردار است. به دلیل پروفیل متقارن کاج ریشه، سنگزنانی خزشی آن با دستگاه سنگ دو اسپیندل از مزایای متعددی برخوردار است که پره‌سازان داخلی را به استفاده از این تکنیک ترغیب کرده است. شکل (۱) دستگاه سنگ خزشی را در حین انجام سنگزنانی بهمراه پره نشان میدهد.

پره‌های توربین گاز و موتورهای جت بدليل کارکرد در دماهای بالا، از آلیاژهای مقاوم در برابر حرارت که عمدتاً آلیاژهای پایه نیکل و پایه کبالت هستند، ساخته می‌شوند. این آلیاژها بسیار بدتر از بوده و مهمترین روش ماشین‌کاری آنها سنگزنانی خزشی است. دقیق‌ترین بخش این پره‌ها، ناحیه کاج ریشه است که کیفیت و سلامت سطح و وضعیت آن نسبت به ناحیه ایرفویل پره بسیار حیاتی می‌باشد که معمولاً از روش سنگزنانی خزشی برای

۱- کارشناس ارشد مهندسی مکانیک (ساخت و تولید) - گروه مپنا، شرکت مهندسی موادکاران، Fazeli_ar@yahoo.com

فراتر رود، پره بدلیل خمیدگی بیش از حد، هنگامی که پره در دیسک توربین نصب می‌شود بدلیل انحراف مسیر حرکت گاز و عدم توازن فشار گاز، سبب کاهش راندمان توربین گازی می‌گردد. در شکل (۲) پارامتر خمیدگی بر روی ایرفویل پره نشان داده شده است. همچنین شکل (۳) نیز پره ماشینکاری شده ردیف دوم توربین گازی رستون TA1750 را با ریشه سنگ خرزشی شده نشان می‌دهد. در این مقاله اثر پارامترهای ورودی فرآیند سنگزنانی خرزشی شامل سرعت چرخشی سنگ، سرعت پیشروی سنگ و عمق براده‌داری و سرعت پیشروی درس رستگاه و بررسی اثر تعاملات آنها بر روی میزان خمیدگی ایرفویل پره با استفاده از روش طراحی آزمایشات پرداخته شده است. در نهایت نیز مدل پیش‌بینی کننده میزان خمیدگی در قالب معادلات ریاضی برای بهینه سازی فرآیند، استخراج شده است.

۲- توصیف مواد آزمایش

ماده مورداستفاده در این سوپر آلیاژ اینکونل ۷۳۸ می‌باشد. جدول (۱) ترکیبات شیمیایی آلیاژ مورد استفاده در این تحقیق را نشان می‌دهد.

۳- طراحی آزمایشات

در طراحی آزمایشات امکان اینکه شرایط اجرای تمام آزمایشات وجود داشته باشد بسیار کم می‌باشد. بدین منظور باید از تکنیکی استفاده نمود تا بتوان آزمایشات مناسب و لازم را با دقت کافی و بالا (نزدیک به دقت معادله با آزمایشات کامل) انجام شود. در این تحقیق روش طراحی آزمایشات فاکتوریال کسری با در نظر گرفتن دو سطح برای هر پارامتر (+ و -) و استفاده از کسر یک چهارم و رزولوشن مرتبه ۴ (جهت امکان بررسی تاثیر تعاملات دو تایی) استفاده شده است، [۷-۶-۲- IV]. همچنین برای هر پارامتر دو سطح در نظر گرفته شده است. جدول شماره (۲) ورودیهای متغیر فرآیند که در این تحقیق مورد استفاده قرار گرفته است را نشان می‌دهد [۹-۸].



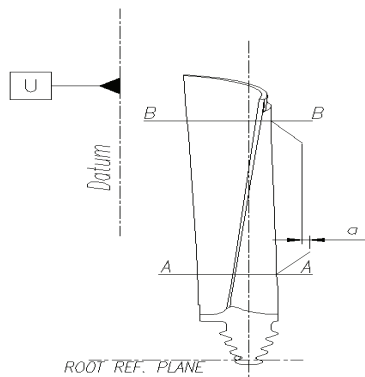
شکل (۱): فرآیند سنگ زشی پره

فرشید اقا محمدی و محمد حسین صادقی در پروژه خود طراحی و ساخت اولین و مهمترین فیکسچر ماشینکاری پره که مربوط به کاج ایرفویل و پروفیل شانک است، را مورد مطالعه قرار دادند [۱]. امیرعبدالله و حسن فروغی نیز با استفاده از آزمایشات متعددی بر روی سوپرآلیاژ Inconel 738 LC و با ۵ چرخ سنگ مختلف، سرعتهای برشی و پیشروی متفاوت را در فرآیند سنگزنانی خرزشی مورد بررسی قرار دادند [۲]. P.X.Li و Inconel W.Osterle در دانشگاه برلین رفتار سوپر الیاژ hard bearing steel با چرخ سنگ رادر برابر سنگزنانی خرزشی از بعد مکانیکی و حرارتی مورد آزمایش قرار دادند [۳]. Seikou Sekine سنگزنانی سوپر آلیاژ پایه نیکل- اهن اینکونل 718 را به روش درس پیوسته مورد بررسی قرار داد و نشان داد که این روش برای ماشینکاری قطعات موتورهای هوایپما از دقت و صرفه اقتصادی بیشتری برخوردار است [۴]. Brach نیروهای ماشینکاری و انرژی مخصوص سنگزنانی خرزشی بر روی hard bearing steel با چرخ سنگ اکسید آلومینیوم را مورد بررسی قرار داد و نتایج مربوط به سنگزنانی رو به بالا و رو به پائین را با هم مقایسه نمود [۵]. Furukawa و Ohishi آزمایشی را بر روی bearing در این آزمایشات تغییرات نیروهای افقی و عمودی و نیز نیروهای مماسی و شعاعی نسبت به تغییر عمق برش مورد بررسی قرار گرفت [۶].

پارامتر خمیدگی یکی از مهمترین پارامترهای ابعادی ایرفویل پره می‌باشد که در نصب صحیح پره بر روی دیسک توربین گازی تاثیر بسزایی دارد. در صورتی که این پارامتر بخوبی کنترل نشود واز محدوده تolerانسی خود (در حدود ۰/۱۸ میلی متر)

جدول (۱): ترکیب شیمیایی سوپر آلیاژ اینکونل ۷۳۸

Element	Min	Max	Element	Min	Max
	Percentage	Percentage		Percentage	Percentage
C	۰/۰۹	۰/۱۳	Nb	۰/۶	۱/۱
Cr	۱۵/۷	۱۷/۳	Ta	۱/۵	۲
Co	۸	۹	W	۲/۴	۲/۸
Al	۲/۲	۲/۷	Fe	-	۰/۰۳
Ti	۲/۲	۲/۷	Si	-	۰/۰۵
(Al+Ti)	۷/۵	۷/۲	Mn	-	۰/۰۵
B	۰/۰۰۷	۰/۰۰۹	S	-	۰/۰۰۳
Zr	۰/۰۳	۰/۰۶			
Mo	۱/۵	۲			
Ni			Bal.		



شکل (۲): میزان پارامتر خمیدگی بر روی ایرفوبل پره a



شکل (۳): پره ماشینکاری شده ردیف دوم توربین گازی رستون TA1750

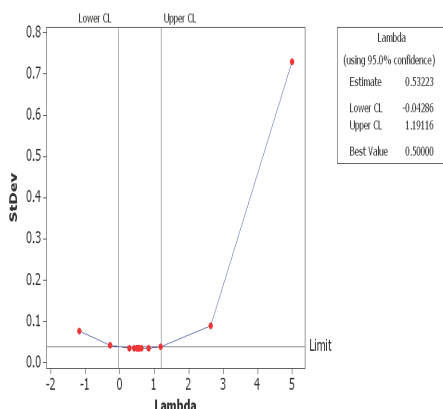
جدول (۲): نمایش سطوح پارامترها

پارامتر	سطح پائین	سطح بالا
P1 (mm) - میزان عمق سنگنی - قسمت اول	۰/۶	۰/۹
P2 (mm) - میزان عمق سنگنی - قسمت دوم	۰/۳	۰/۶
P3 (mm) - میزان عمق سنگنی - قسمت سوم	۰/۰۴	۰/۰۸
V (M/S) - سرعت دورانی سنگ	۱۰۰	۱۸۰
f (mm/min) - سرعت پیشروی سنگ	۰/۰۵	۰/۱۵
E (μm/rev) - سرعت پیشروی درسر	۱۷	۲۵

۴- تحلیل نتایج آزمایشات

روشی که برای بررسی اهمیت یک پارامتر و تاثیر آن بر کار می‌رود روش تحلیل واریانس است. از طریق انجام این تحلیل، پس از انجام محاسبات آماری و انجام دادن آزمون F بر روی داده‌های خروجی آزمایشات توسط نرم‌افزار Minitab مقادیر F_0 مربوط به هر پارامتر که توسط نرم‌افزار بدست آمده، از جدول تحلیل واریانس استخراج می‌شود.

باید این موضوع مورد توجه قرار گیری که میزان قدر مطلق اختلاف اندازه‌های بدست آمده از اندازه‌گیری خمیدگی با مقدار متوسط پارامتر مورد نظر، جهت تحلیل آماری، مورد استفاده قرار گرفته است. بنابراین محدوده تolerانسی آن (بصورت یک طرفه) مورد بررسی قرار گرفته است و به کمک روش طراحی آزمایشات و تحلیل ANOVA، این مقدار تolerانسی با توجه به پارامترهای ورودی، کمینه شده است.



شکل (۴): نمودار Box-Cox برای بدست آوردن تغییر متغیر مناسب

تحلیل واریانس و بررسی جدول ANOVA بدون بلوک بندی پس از حذف بلوک بندی و تحلیل آزمایشات مشاهده گردید که مدل بدست آمده دارای دقت خوبی نمی باشد و نمودار باقیمانده ها نیز از وضعیت خوبی برخوردار نیست. بنابراین به منظور بدست آوردن نتایج دقیق تر، بر روی اعداد بدست آمده برای پارامتر a، باید تغییر متغیر اعمال شود. بدین ترتیب که پس از اجرای روش Box-Cox بر روی اعداد مذکور، مطابق شکل (۴)، مقدار لمبای^۱ بهینه برابر با $\lambda = 0.5$ بدست می آید که نتیجه عملی آن استفاده از تغییر متغیر ریشه دوم می باشد. در نتیجه برای انجام تحلیل واریانس بر روی پارامتر a باید خروجی های فرآیند را با تغییر متغیر ریشه دوم تبدیل نمود و بر روی خروجی های جدید بدست آمده، تحلیل واریانس را انجام داد.

۵- تحلیل واریانس و بررسی جدول ANOVA

پس از تغییر متغیر و تحلیل آزمایشات می توان نتایج حاصل از تحلیل واریانس را در قالب جدول تحلیل واریانس یا جدول ANOVA ارائه و بررسی نمود، (جدول ۳).

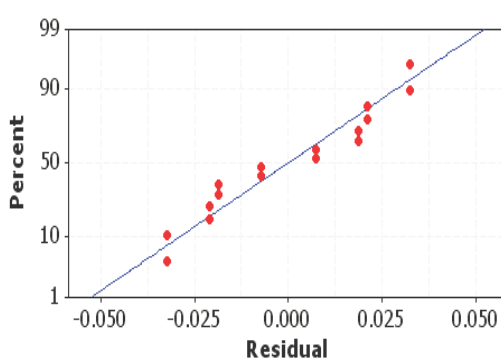
جدول (۳): جدول تحلیل واریانس (Anova) برای پارامتر a پس از تغییر متغیر

پارامترها	درجه آزادی	Adj SS	Adj MS	Fo	P
Main Effects	۶	۰/۰۲۹۹	۰/۰۰۴۹	۱/۹۸	۰/۳۰۷
2-Way Interactions	۵	۰/۰۳۶۷	۰/۰۰۷۳	۲/۹۱	۰/۲۰۴
3-Way Interactions	۱	۰/۱۰۴۳	۰/۱۰۴۳	۱۳/۸۶	۰/۰۰۸
Residual Error	۳	۰/۰۰۷۵	۰/۰۰۲۵	۱۴/۳۸	
Total	۱۵				
R-Sq = ۹۵/۶۷٪.		R-Sq(adj) = ۷۸/۸۸٪.			

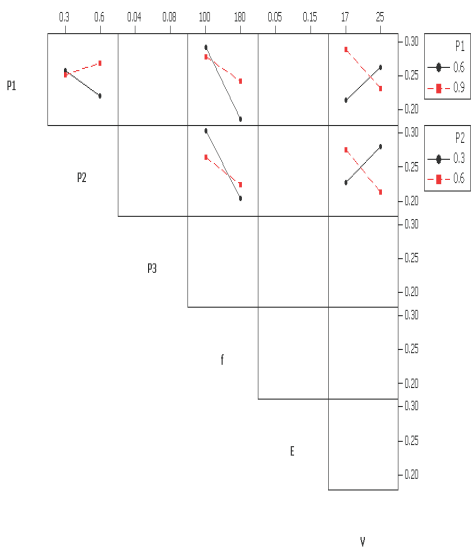
تعداد زیاد عامل های غیر مهم در مدل و همچنین کیفیت خوب مدل می باشد.

۶- بررسی کیفیت تحلیل انجام شده

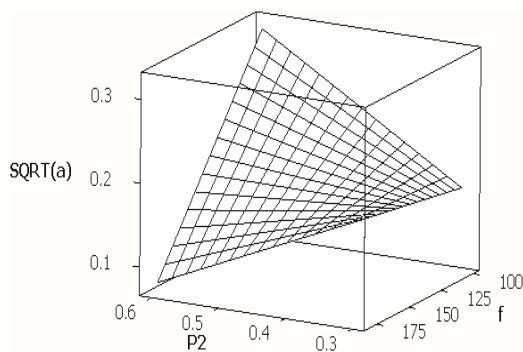
شکل (۵) نمودار تحلیل باقیمانده ها در تابع برازش شده بر پارامتر a پس از تغییر متغیر را نشان می دهد. همانطوری که مشاهده می شود نقاط دارای پراکندگی کمتری نسبت به حالت بدون تغییر متغیر می باشند و این نشان از کفایت مدل بدست آمده می باشد. از طرفی همانطوری که در انتهای جدول ANOVA (جدول ۳) مشاهده می شود، مدل برازش شده بر نتایج تا حدود ۷۸/۸۲ درصد بر داده های خروجی از آزمایشات منطبق است و نشان از کفایت مدل دارد. همچنین میزان R اصلاح شده (Radj) به مقدار ۰/۹۵/۷۶ درصد تقریباً خوبی می باشد که نشان از عدم وجود



شکل (۵): نمودار تحلیل باقیمانده ها در تابع برازش شده بر پارامتر a



شکل (۷): نمودارهای مربوط به تعاملات بین پارامتری در مدل پارامتر a



شکل (۸): نمودار مربوط به تعاملات بین پارامترهای f و P2 بر روی a

۸- تحلیل رگرسیون بر پارامتر a

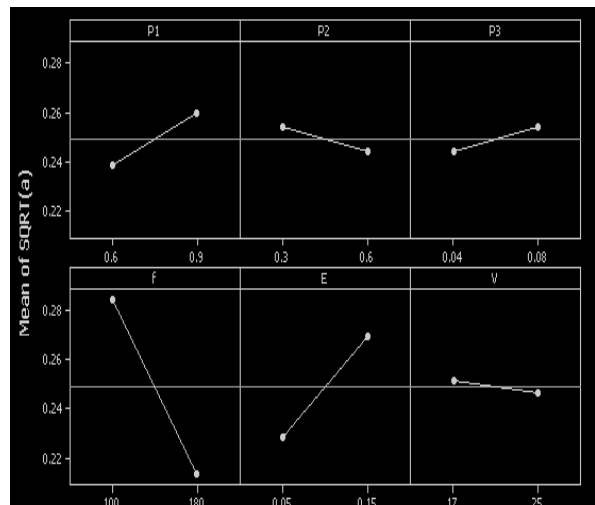
در تحقیق حاضر برای ارائه مدل پیش‌بینی کننده میزان خمیدگی، رابطه‌ای بصورت ریاضی بین خروجی آزمایشات و پارامترهای Minitab موثر از طریق تحلیل رگرسیون به کمک نرم‌افزار بدست آمده است. با توجه به ضرایب و ثابت‌های بدست آمده از نرم افزار برای هر پارامتر می‌توان معادله ریاضی حاکم بر نتایج آزمایشات را برای میزان ضربداری بصورت زیر ارائه داد.

$$\begin{aligned} \sqrt{a} = & -4.43 + 5.96 \times (P1) + 9.59 \times (P2) + 0.248 \times (P3) \\ & + 0.026 \times (f) + 0.41 \times (E) + 0.054 \times (V) - 11.93 \times (P1 \times P2) \\ & - 0.037 \times (P1 \times f) - 0.044 \times (P1 \times V) - 0.0648 \times (f \times P2) \\ & - 0.048 \times (V \times P2) + 0.089 \times (P1 \times P2 \times f) \end{aligned} \quad (1)$$

۷- بررسی نمودارهای اثرات اصلی و تعاملات بین پارامتری

برای بررسی بیشتر چگونگی تاثیر هر یک از پارامترها بر پارامتر a می‌توان نمودارهای اثرات پارامترهای اصلی را مطابق شکل (۶) رسم نمود. با توجه به نمودارهای بدست آمده، مشاهده می‌شود که جهت کمینه نمودن عدد پارامتر a باید تعاملات بین پارامتری را در نظر گرفت.

همانطوریکه از شکل (۷) مشاهده می‌شود از تعامل اثر میان پارامترهای ورودی چنین بر می‌آید که با کاهش سرعت پیشروی درسر، میزان عمق پیشروی قسمت اول، دوم و سوم و سرعت دورانی سنگ و افزایش سرعت پیشروی سنگ، میزان پارامتر a مقدار کمتری را به خود اختصاص می‌دهد و در نتیجه میزان انحراف مطلوبی حاصل می‌گردد. شکل (۸) نیز نمودار اثر تعامل پارامتر میزان عمق سنگزنانی – قسمت دوم (P2) و سرعت پیشروی سنگ (f) را نشان می‌دهد. همانطوریکه مشاهده می‌شود با افزایش میزان عمق سنگزنانی – قسمت دوم (P2) و سرعت پیشروی سنگ (f)، اندازه مطلوبی در حد تلرانس برای پارامتر a حاصل می‌گردد.



شکل (۹): نمودارهای مربوطه به تاثیر هر پارامتر بر میزان پارامتر a

به خود اختصاص می‌دهد و در نتیجه اندازه مطلوبی در حد تلرانس حاصل می‌گردد.

۳- در مدلسازی فرآیند سنگزنانی خزشی، در طراحی آزمایشات و بررسی پارامترهای ورودی اصلی، می‌توان فرآیند را در دو سطح بخوبی مدلسازی نمود.

۴- نهایتاً اینکه با توجه به زیاد بودن تعداد پارامترهای موثر در فرآیند، بررسی فرآیند سنگزنانی خزشی پره توربین گازی بوسیله طراحی آزمایشات، روشی بسیار موثر و دقیق با جوابهای قابل قبول می‌باشد.

۹- نتیجه گیری

۱- بهبود فرایند سنگزنانی خزشی پره توربین گازی می‌تواند از طریق انتخاب صحیح پارامترهای ورودی فرآیند شامل سرعت چرخشی سنگ، سرعت پیشروی سنگ و عمق برادی برداری و سرعت پیشروی درسر دستگاه به کمک تحلیل واریانس و بررسی اثر پارامترهای ورودی و اثر تعاملات آنها بر میزان خمیدگی ایرفویل پره، انجام شود.

۲- نتایج ازمایشات نشان می‌دهد که با کاهش سرعت پیشروی درسر، میزان عمق پیشروی، سرعت دورانی سنگ و افزایش سرعت پیشروی سنگ، میزان پارامتر خمیدگی مقدار کمتری را

مراجع

- ۱- فرشید اقا محمدی، محمد حسین صادقی، طراحی و ساخت فیکسجر سنگزنانی خزشی پره ردیف اول توربین گازی فریم ۵ طرح GE با دستگاه سنگ دو اسپیندل، دانشگاه تربیت مدرس، ۱۳۷۹.
- ۲- امیر عبدالله، حسن فروغی، سنگزنانی خزشی سوپر آلیاژ Inconel 738 LC دانشگاه تربیت مدرس، ۱۳۷۶.
- 3- P. X.Li و W. Osterle, "Mechanical and thermal response of a nickel-base superalloy upon grinding with removal rates", Material Science Engineering A238, 1997, pp357-366.
- 4- Seikou Sekine, Ichiro Inasaki, Shigekuni Kobayashi, "Creep feed grindingof Inconel 718 with continuous dressing".
- 5- K. Brach, D. M. Pai, E. Ratterman, M. C. Shaw, "Grinding Forces and Energy ", Journal of Engineering for Industry", Vol.110, Feb. 1988, pp25-31
- 6- Yuji Furukawa, Susumu Ohishi, Susumu Shiozaki, "Different ingrinding mechanism between Up- and Down-Cut creep feed grinding", Bull. Japan Soc. Of Prec. Engg. Vol.14, No.2, June 1980,pp 85-90.
- 7- D. C. MontGomery, design of experimentals & statistica modeling, McGrow Hill, Inc, 22NewYORK,2005 2005.
- 8- Colin Andrew, Trevor D.Howes & Tom R. A. Pearce, "Creep FeedGrinding",Book, Holt, Reinhart and Winston, 1985.
- 9- E. Parrot, "Development and applicationofcontinuous dress crrep feed grinding", ImechE, Vol 197B, November 1983, pp231-235.